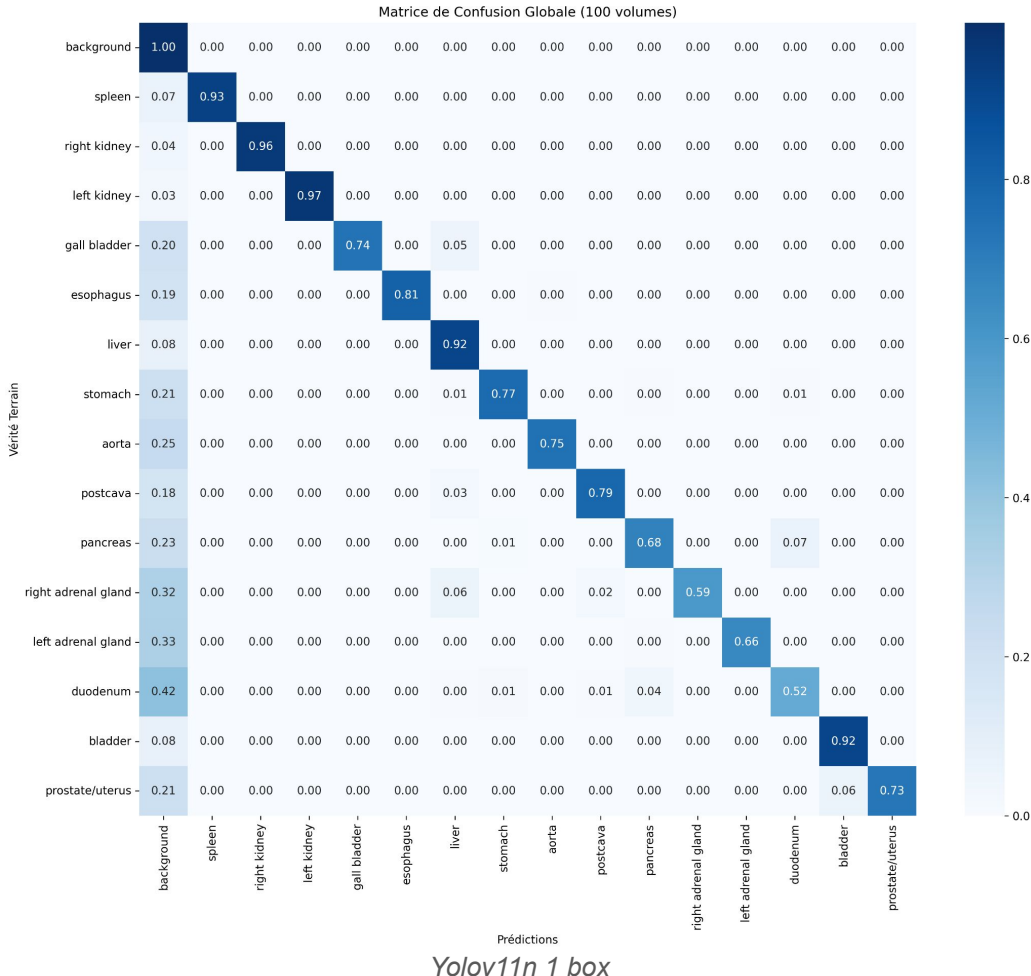


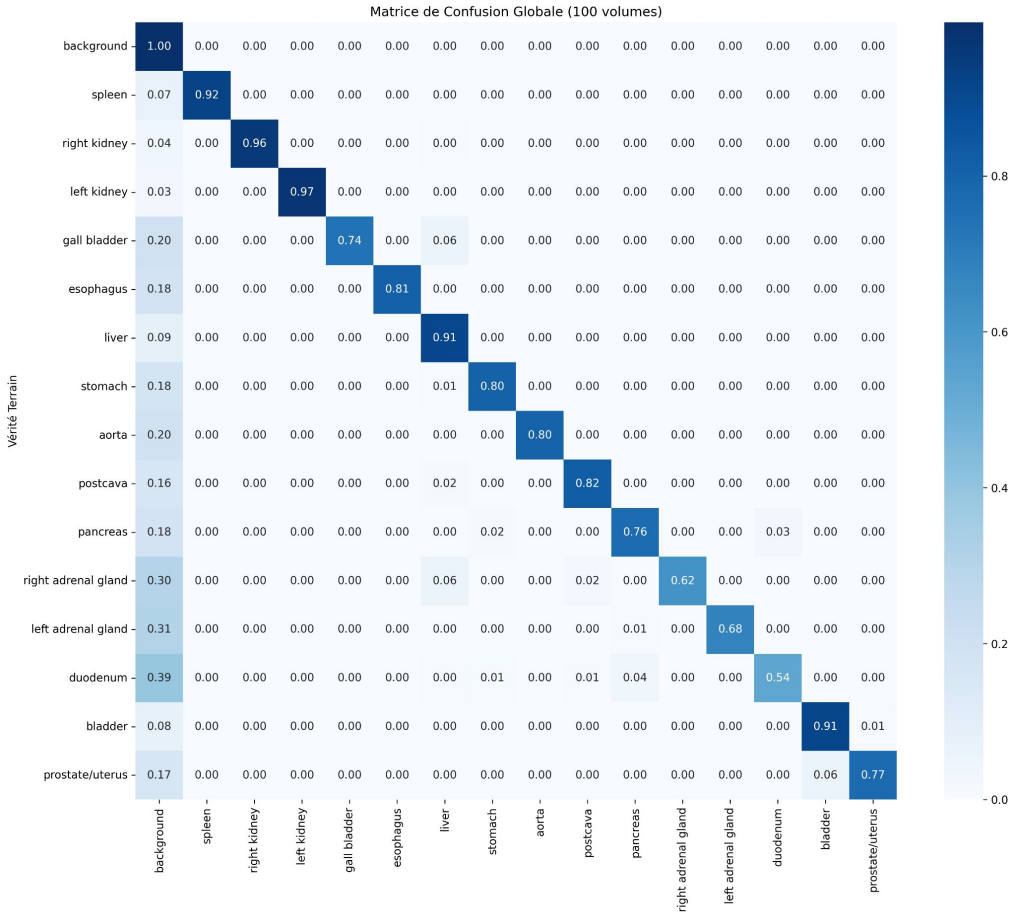
MAE (mean average error) pour la localisation du centre de la prompting zone (PR) en mm

	Recalage	yolov11n
spleen	18,0	4,1
right kidney	9,0	2,0
left kidney	7,9	2,9
gall bladder	22,4	6,4
esophagus	10,1	4,2
liver	20,6	8,0
stomach	32,6	25,2
aorta	9,4	5,5
postcava	6,9	4,9
pancreas	23,0	12,9
right adrenal gland	10,8	5,1
left adrenal gland	9,6	5,0
duodenum	17,6	10,8
bladder	12,9	8,9
prostate/utérus	21,7	8,0
moyenne	15,5	7,6

Matrices de confusion

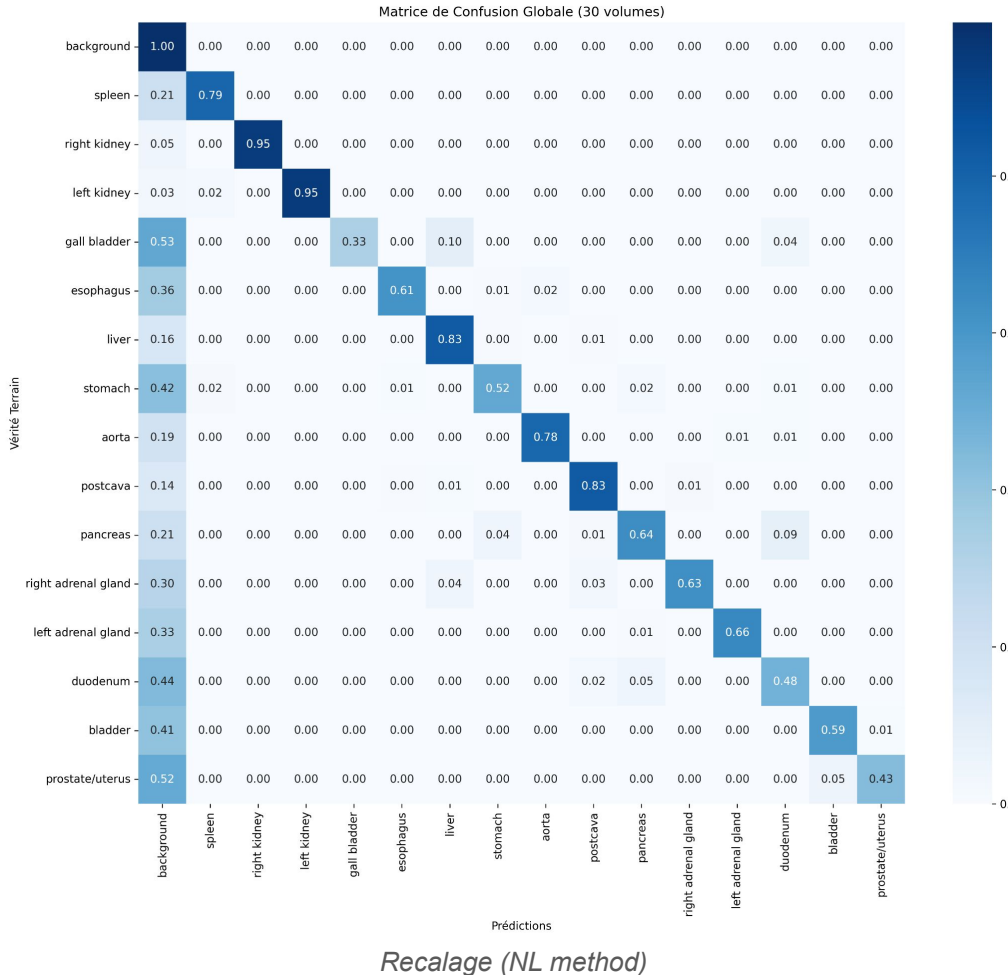


Matrices de confusion



Yolov11n 3 boxes

Matrices de confusion



Evaluation 30 images

	Yolov11n	Yolov11n 3 boxes	YOLO 11x3 boxes
SPL	0.96	0.96	0.96
RKI	0.95	0.95	0.95
LKI	0.96	0.95	0.94
GBL	0.83	0.86	0.87
ESO	0.77	0.78	0.76
LIV	0.95	0.94	0.93
STO	0.73	0.77	0.87
AOR	0.87	0.91	0.91
IVC	0.79	0.82	0.83
PAN	0.71	0.77	0.78
RAG	0.63	0.62	0.65
LAG	0.62	0.64	0.71
DUO	0.58	0.61	0.61
BLA	0.78	0.76	0.81
PRO/UTE	0.77	0.79	0.81
	0.79	0.81	0.83

Evaluation 100 images

	UNet2D	UNet3D	GT 3 boxes	Yolov11n	Yolov11n 3 boxes	YOLO 11x3 boxes
SPL	0.93	0.93	0.96	0.95	0.95	0.96
RKI	0.92	0.92	0.94	0.95	0.95	0.95
LKI	0.94	0.94	0.95	0.95	0.95	0.95
GBL	0.70	0.72	0.87	0.79	0.80	0.82
ESO	0.78	0.78	0.82	0.78	0.79	0.79
LIV	0.95	0.95	0.93	0.94	0.93	0.93
STO	0.81	0.84	0.88	0.79	0.82	0.86
AOR	0.92	0.93	0.89	0.88	0.89	0.89
IVC	0.81	0.85	0.85	0.79	0.82	0.83
PAN	0.75	0.78	0.80	0.71	0.75	0.77
RAG	0.68	0.70	0.66	0.59	0.60	0.63
LAG	0.68	0.69	0.72	0.64	0.65	0.68
DUO	0.67	0.71	0.65	0.57	0.60	0.61
BLA	0.79	0.80	0.86	0.81	0.81	0.83
PRO/UTE	0.73	0.71	0.87	0.76	0.77	0.80
	0,80	0,82	0,84	0,79	0,81	0,82